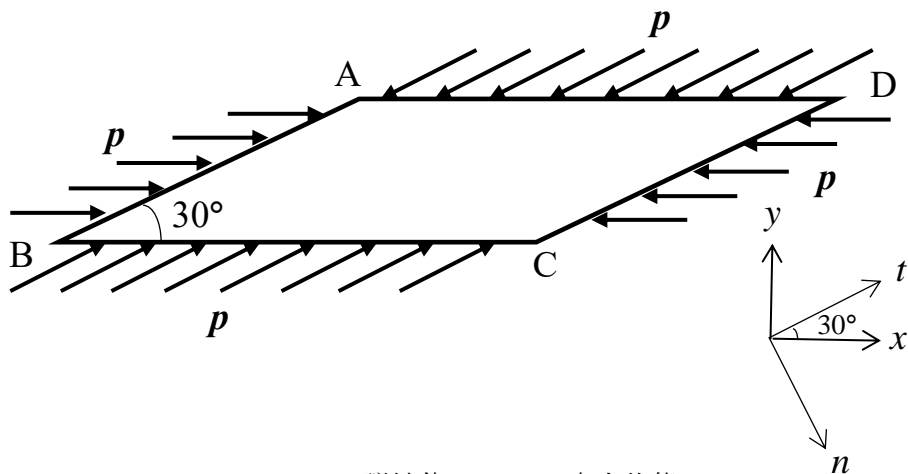


## 材料の力学 1 Step1 第 5 回演習問題 (2017/5/23 実施)

- [1] 図 1 に示すような平行四辺形の弾性体 ABCD に  $p = 10\sqrt{3}$  [MPa] の圧縮応力が図のように作用している。ただし、弾性体の板厚は十分薄いものとする。解答にあたって 単位をつけてよ。



**Fig. 1** 弹性体 ABCD の応力状態。

- (1) AD 面の垂直応力  $\sigma_y$ , せん断応力  $\tau_{xy}$  および CD 面の垂直応力  $\sigma_n$ , せん断応力  $\tau_{nt}$  を求めよ。
- (2) モールの応力円を描け。また、モールの応力円の半径と中心の座標を求めよ。  
 [ヒント] モールの応力円は座標系によらず一つに書ける。(1)から得られるモールの応力円上のプロットの位置関係を、図形的意味を捉えて考えよ。
- (3) モールの応力円から応力テンソル  $[\sigma_{ij}] = \begin{pmatrix} \sigma_x & \tau_{xy} \\ \tau_{xy} & \sigma_y \end{pmatrix}$  を求めよ。
- (4) 主応力  $\sigma_1, \sigma_2$  と主方向  $\theta_1, \theta_2$  を求めよ。ただし、主方向は  $x-y$  座標を基準とし、 $-90^\circ \leq \theta_1, \theta_2 \leq 90^\circ$  とする。
- (5) 最大せん断応力  $\tau_{max}$  を求めよ。(板厚方向の主応力に注意せよ)

[1]

- (1) AD 面の垂直応力  $\sigma_y$ ,せん断応力  $\tau_{xy}$  および CD 面の垂直応力  $\sigma_n$ ,せん断応力  $\tau_{nt}$  を求めよ。

$x-y$  平面について考える。AD 面にかかる応力ベクトル  $p$  は図 1 のように分解することが出来る。 $p = 10\sqrt{3}$  [MPa]であることを踏まえて垂直応力  $\sigma_y$  とせん断応力  $\tau_{xy}$  を求めると次の式(1.1)のようになる。

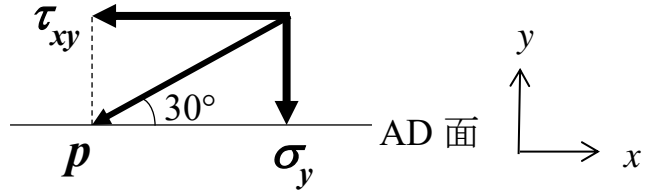


Fig.1 AD 面の応力ベクトル。

$$\begin{aligned}\sigma_y &= -p \sin 30^\circ = -\frac{1}{2} \cdot 10\sqrt{3} = -5\sqrt{3} \quad [\text{MPa}] \\ \tau_{xy} &= -p \cos 30^\circ = -\frac{\sqrt{3}}{2} \cdot 10\sqrt{3} = -15\end{aligned}\tag{1.1}$$

$n-t$  座標系は  $x-y$  座標系を時計回りに  $60^\circ$  回転させた座標系である。CD 面にかかる応力ベクトルも同様に図 2 のように分解することが出来る。垂直応力  $\sigma_n$  とせん断応力  $\tau_{nt}$  を求めると次の式(1.2)のようになる。

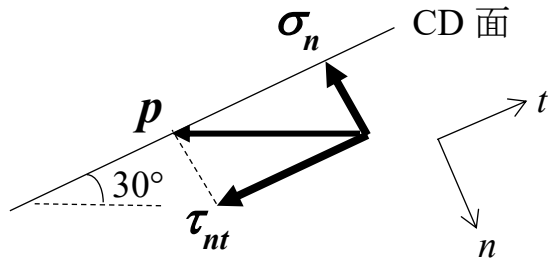


Fig.2 CD 面の応力ベクトル。

$$\begin{aligned}\sigma_n &= -p \sin 30^\circ = -\frac{1}{2} \cdot 10\sqrt{3} = -5\sqrt{3} \quad [\text{MPa}] \\ \tau_{nt} &= -p \cos 30^\circ = -\frac{\sqrt{3}}{2} \cdot 10\sqrt{3} = -15\end{aligned}\tag{1.2}$$

※解答の導出過程がないレポートは認めない.  
採点済みのレポートは 58 号館のレポート返却 BOX にて返却.

(2) モールの応力円を描け. また, モールの応力円の半径と中心の座標を求めよ.

(1)の結果よりモールの応力円上のプロット $(\sigma_y, -\tau_{xy})$ ,  $(\sigma_n, \tau_{nt})$ はそれぞれ

$$\begin{aligned} (\sigma_y, -\tau_{xy}) &= (-5\sqrt{3}, 15) \\ (\sigma_n, \tau_{nt}) &= (-5\sqrt{3}, -15) \end{aligned} \quad (1.3)$$

となる.

モールの応力円を描くために $(\sigma_y, -\tau_{xy})$ ,  $(\sigma_n, \tau_{nt})$ および $(\sigma_x, \tau_{xy})$ をプロットする. またこのときのモールの応力円の中心を  $C(\sigma_c, 0)$ とする. このとき,  $n-t$  座標は  $x-y$  座標を時計回りに  $60^\circ$  回転させたものであるので, モールの応力円上では時計回りに  $120^\circ$  回転することになる. また,  $(\sigma_x, \tau_{xy})$  は  $(\sigma_y, -\tau_{xy})$  を  $180^\circ$  回転させたものになることに注意する.

よって 3 点 $(\sigma_x, \tau_{xy})$ ,  $(\sigma_y, -\tau_{xy})$ ,  $(\sigma_n, \tau_{nt})$  の位置関係は図 3 のようになる.

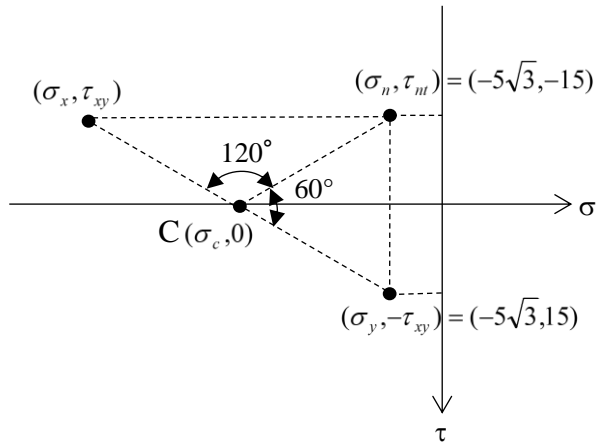


Fig.3 3 点の位置関係.

図 3 より  $(\sigma_c, 0)$ ,  $(\sigma_y, -\tau_{xy})$ ,  $(\sigma_n, \tau_{nt})$  の 3 点からなる三角形は正三角形になることがわかる.  
 よってモールの応力円の半径  $r$  は

$$r = -\tau_{xy} - \tau_{nt} = 15 - (-15) = 30 \quad (1.4)$$

これより  $\sigma_x$  は

$$\sigma_x = \sigma_y - 2r \cos 30^\circ = -5\sqrt{3} - 2 \cdot 30 \cdot \frac{\sqrt{3}}{2} = -35\sqrt{3} \text{ [MPa]} \quad (1.5)$$

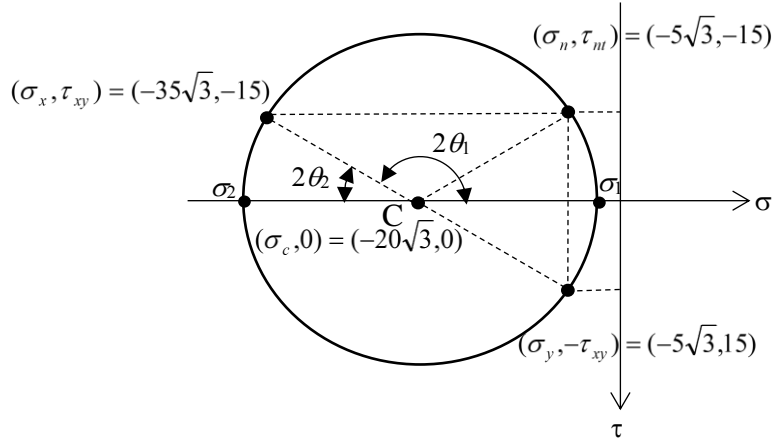
となる. これより  $(\sigma_x, \tau_{xy}) = (-35\sqrt{3}, -15)$  となるので円の中心の  $x$  座標  $\sigma_c$  は

$$\sigma_c = \frac{\sigma_x + \sigma_y}{2} = \frac{-35\sqrt{3} + (-5\sqrt{3})}{2} = -20\sqrt{3} \text{ [MPa]} \quad (1.6)$$

これよりモールの応力円の中心  $C$  は  $(\sigma_c, 0) = (-20\sqrt{3}, 0)$  となる.

※解答の導出過程がないレポートは認めない.  
採点済みのレポートは 58 号館のレポート返却 BOX にて返却.

以上より、モールの応力円を描くと図 4 のようになる。



半径 :  $r = 30$

円の中心座標 :  $(\sigma_c, 0) = (-20\sqrt{3}, 0)$

**Fig.4** モールの応力円。

(3) モールの応力円から応力テンソル  $[\sigma_{ij}] = \begin{pmatrix} \sigma_x & \tau_{xy} \\ \tau_{xy} & \sigma_y \end{pmatrix}$  を求めよ。

モールの応力円より応力テンソル  $[\sigma_{ij}]$  の各成分を代入して

$$[\sigma_{ij}] = \begin{pmatrix} \sigma_x & \tau_{xy} \\ \tau_{xy} & \sigma_y \end{pmatrix} = \begin{pmatrix} -35\sqrt{3} & -15 \\ -15 & -5\sqrt{3} \end{pmatrix} [\text{MPa}] \quad (1.7)$$

(4) 主応力  $\sigma_1, \sigma_2$  と主方向  $\theta_1, \theta_2$  を求めよ。ただし、主方向は  $x-y$  座標を基準とし、  
 $-90^\circ \leq \theta_1, \theta_2 \leq 90^\circ$  とする。

主方向の角度条件に注意して、主応力  $\sigma_1, \sigma_2$  はモールの応力円より

$$\begin{cases} \sigma_1 = \sigma_c + r \\ \sigma_2 = \sigma_c - r \end{cases} [\text{MPa}] \quad (1.8)$$

のように表せる。式(1.4)および式(1.6)を代入して

$$\begin{pmatrix} \sigma_1 \\ \sigma_2 \end{pmatrix} = \begin{pmatrix} -20\sqrt{3} + 30 \\ -20\sqrt{3} - 30 \end{pmatrix} [\text{MPa}] \quad (1.9)$$

また、主方向  $\theta_1$  はモールの応力円より

$$\theta_1 = \frac{1}{2} \tan^{-1} \left( \frac{2\tau_{xy}}{\sigma_x - \sigma_y} \right) = \frac{1}{2} \tan^{-1} \left( \frac{2 \cdot (-15)}{-35\sqrt{3} - (-5\sqrt{3})} \right) = \frac{1}{2} \tan^{-1} \left( \frac{1}{\sqrt{3}} \right) = 15^\circ \quad (1.10)$$

また主方向  $\theta_2$  は、 $-90^\circ \leq \theta_1, \theta_2 \leq 90^\circ$  をふまえるとモールの応力円より

$$\theta_1 = \theta_2 - 90^\circ = 15^\circ - 90^\circ = -75^\circ \quad (1.11)$$

※解答の導出過程がないレポートは認めない.  
採点済みのレポートは 58 号館のレポート返却 BOX にて返却.

すなわち

$$\begin{pmatrix} \theta_1 \\ \theta_2 \end{pmatrix} = \begin{pmatrix} -75^\circ \\ 15^\circ \end{pmatrix} \quad (1.12)$$

となる。

(5) 最大せん断応力  $\tau_{max}$  を求めよ。

いま、 $x$ - $y$  平面内の主応力  $\sigma_1, \sigma_2$  はそれぞれ  $(\sigma_1, \sigma_2) = (-20\sqrt{3} + 30, -20\sqrt{3} - 30)$  となり、大小関係は  $\sigma_1 > \sigma_2$  となる。一方、弾性体 ABCD の板厚は十分薄いため、 $x$ - $y$  平面の平面応力状態とみなすことができ、板厚方向の主応力は  $\sigma_3 = 0$  となるが、 $\sigma_3 > \sigma_1$  となることより、 $z$  方向の主応力  $\sigma_3$  が最大主応力となり、 $\sigma_2$  が最小主応力となることが分かる。

よって、最大せん断応力  $\tau_{max}$  は

$$\tau_{max} = \frac{1}{2} |\sigma_3 - \sigma_2| = 10\sqrt{3} + 15 \text{ [MPa]} \quad (1.13)$$

※解答の導出過程がないレポートは認めない.  
採点済みのレポートは58号館のレポート返却BOXにて返却.

- [2] 板厚が十分に薄い弾性体表面のある点での応力状態を求めるため、図2に示すような角度でひずみゲージを貼り付けた。なお、 $\varepsilon_1$ は $n$ 軸方向である。ひずみゲージから測定したひずみの値は $\varepsilon_1=356\mu$ ,  $\varepsilon_{II}=156\mu$ ,  $\varepsilon_{III}=156\mu(\mu=1.0\times10^{-6})$ であった。この弾性体の縦弾性係数 $E$ 、ポアソン比 $\nu$ をそれぞれ、 $E=182[\text{GPa}]$ ,  $\nu=0.3$ とし、以下の間に答えよ。ただし、 $\sqrt{2}=1.41$ ,  $\sqrt{3}=1.73$ とする。回転方向は反時計回りを正とし、有効数字3桁で解答せよ。また、解答にあたっては単位をつけよ。

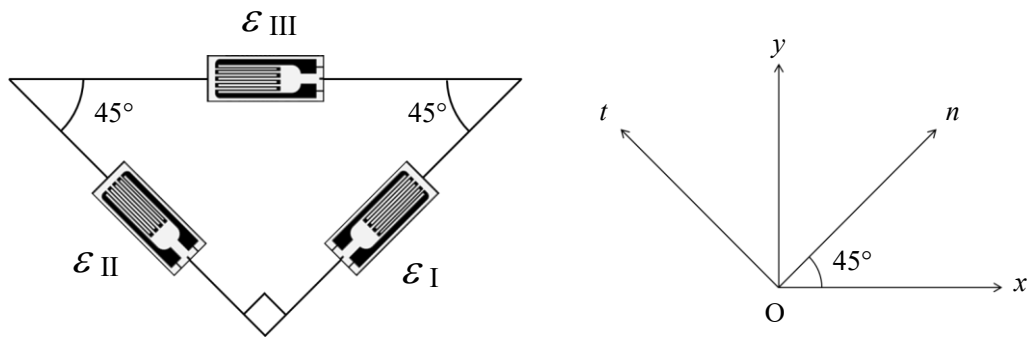


Fig. 2 3軸ひずみゲージ。

- (1)  $n-t$ 座標系について考える。各ひずみゲージの値とひずみの座標変換の式より、せん断ひずみ $\gamma_{nt}$ を求め、 $n-t$ 座標系におけるひずみテンソル $[\varepsilon_{ij}]$ を示せ。
- (2) (1)で求めたひずみテンソルより、モールのひずみ円を描き、その中心と半径を示せ。
- (3) (2)で描いたモールのひずみ円より、 $x-y$ 座標系におけるひずみテンソル $[\varepsilon_{ij}]$ を示せ。
- (4) 主ひずみ( $\varepsilon_1, \varepsilon_2$ )および $x-y$ 座標系からみた主ひずみ方向( $\theta_1, \theta_2$ )を求めよ。ただし、 $\varepsilon_1 > \varepsilon_2$ ,  $-90^\circ \leq \theta_1, \theta_2 \leq 90^\circ$ とする。
- (5) 応力-ひずみの関係より、主応力( $\sigma_1, \sigma_2$ )を求めよ。
- (6) この点における最大せん断応力 $\tau_{max}$ を求めよ。

※解答の導出過程がないレポートは認めない.  
採点済みのレポートは 58 号館のレポート返却 BOX にて返却.

[2]

(1)  $n$ - $t$  座標系について考える. 各ひずみゲージの値とひずみの座標変換の式より, せん断ひずみ  $\gamma_{nt}$  を求め,  $n$ - $t$  座標系におけるひずみテンソル  $[\varepsilon_{ij}]$  を示せ.

ひずみの座標変換の式は以下のように表される.

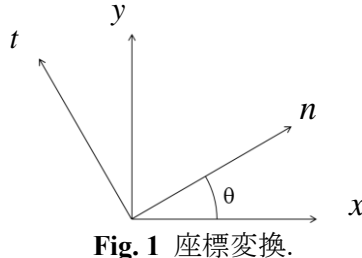


Fig. 1 座標変換.

$$\varepsilon_n = \varepsilon_x \cos^2 \theta + \varepsilon_y \sin^2 \theta + \gamma_{xy} \sin \theta \cos \theta \quad (2.1)$$

$$\varepsilon_t = \varepsilon_x \sin^2 \theta + \varepsilon_y \cos^2 \theta - \gamma_{xy} \sin \theta \cos \theta \quad (2.2)$$

式(2.1)を  $n$ - $t$  座標系に適用する.

$$\varepsilon_{iii} = \varepsilon_n \cos^2 135^\circ + \varepsilon_t \sin^2 135^\circ + \gamma_{nt} \sin 135^\circ \cos 135^\circ \quad (2.3)$$

このとき  $\varepsilon_i = 356\mu$ ,  $\varepsilon_{ii} = 156\mu$ ,  $\varepsilon_{iii} = 156\mu$  を代入して

$$\gamma_{nt} = 200\mu \quad (2.4)$$

よって  $n$ - $t$  座標系におけるひずみテンソル  $[\varepsilon_{ij}]$  は以下のようになる.

$$[\varepsilon_{ij}] = \begin{pmatrix} \varepsilon_n & \gamma_{nt}/2 \\ \gamma_{nt}/2 & \varepsilon_t \end{pmatrix} = \begin{pmatrix} 356\mu & 100\mu \\ 100\mu & 156\mu \end{pmatrix} \quad (2.5)$$

※解答の導出過程がないレポートは認めない.  
採点済みのレポートは 58 号館のレポート返却 BOX にて返却.

(2) (1)で求めたひずみテンソルより、モールのひずみ円を描き、その中心と半径を示せ。

(1)より  $(\varepsilon_n, \gamma_{nt}/2) = (356\mu, 100\mu)$ ,  $(\varepsilon_t, -\gamma_{nt}/2) = (156\mu, -100\mu)$  をプロットしてモールのひずみ円を描くと図 2 のようになる。

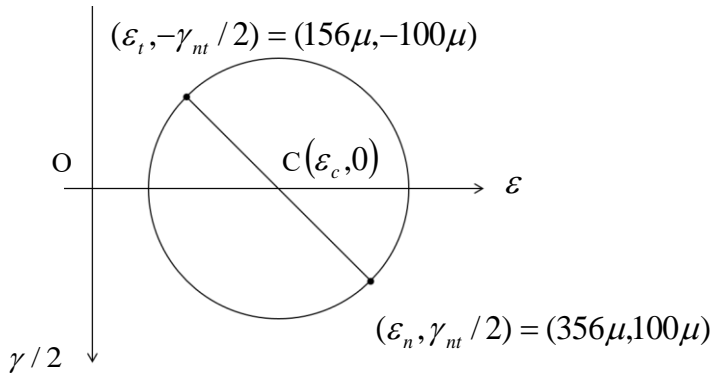


Fig.2 モールのひずみ円。

中心 C の座標は、以下のように求められる。

$$\begin{aligned}
 (\varepsilon_c, 0) &= \left( \frac{\varepsilon_n + \varepsilon_t}{2}, 0 \right) \\
 &= \left( \frac{356\mu + 156\mu}{2}, 0 \right) \\
 &= (256\mu, 0)
 \end{aligned} \tag{2.6}$$

また半径  $r$  は以下のように求められる。

$$\begin{aligned}
 r &= \frac{1}{2} \sqrt{(\varepsilon_n - \varepsilon_t)^2 + 4 \left( \frac{\gamma_{nt}}{2} \right)^2} \\
 &= \frac{1}{2} \sqrt{(356\mu - 156\mu)^2 + 4(100\mu)^2} \\
 &= 100\sqrt{2}\mu \\
 &= 141\mu
 \end{aligned} \tag{2.7}$$

※解答の導出過程がないレポートは認めない.  
採点済みのレポートは 58 号館のレポート返却 BOX にて返却.

- (3) (2)で描いたモールのひずみ円より,  $x$ - $y$  座標系におけるひずみテンソル  $[\varepsilon_{ij}]$  を示せ.  
(2)で描いたモールのひずみ円について, 図 3 のように角  $\alpha$  をおく.

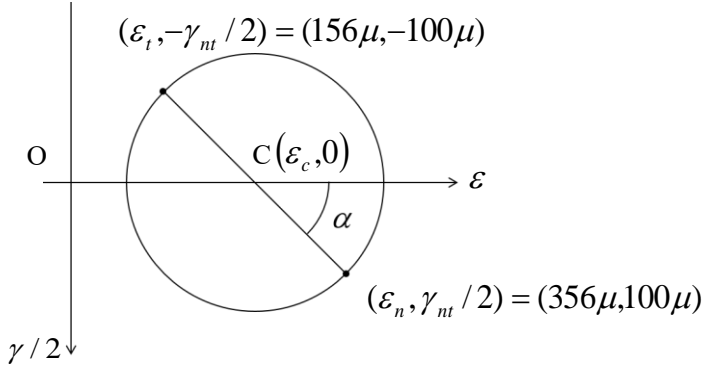


Fig.3 モールのひずみ円.

角  $\alpha$  は以下のように求められる.

$$\begin{aligned} \alpha &= \tan^{-1} \left| \frac{\left( \frac{\gamma_{nt}}{2} \right) - 0}{\varepsilon_n - \varepsilon_c} \right| \\ &= \tan^{-1} \left| \frac{100\mu}{356\mu - 256\mu} \right| \\ &= 45^\circ \end{aligned} \quad (2.8)$$

また  $n$ - $t$  座標系は  $x$ - $y$  座標系を反時計周りに  $45^\circ$  回転させた座標系であるから, モールのひずみ円上では  $n$ - $t$  座標系のひずみを時計回りに  $90^\circ$  回転させることで  $x$ - $y$  座標系におけるひずみを得ることができる. これをモールのひずみ円上で表すと図 4 のようになる.

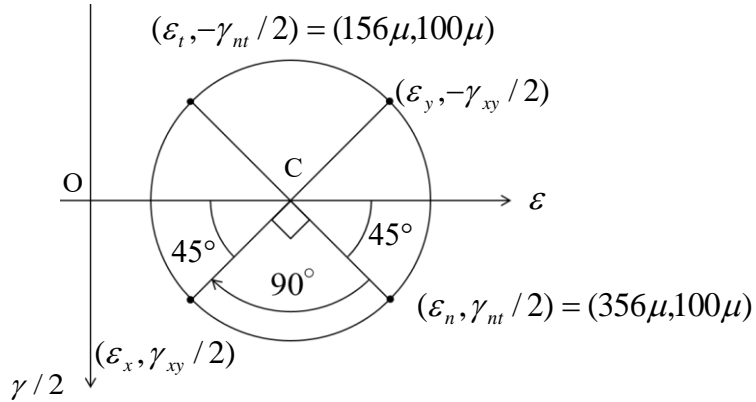


Fig.4 モールのひずみ円.

※解答の導出過程がないレポートは認めない.  
採点済みのレポートは 58 号館のレポート返却 BOX にて返却.

図 4 における対称性から  $x$ - $y$  座標系のひずみの値を得ることができる.

$$\varepsilon_x = 156\mu, \varepsilon_y = 356\mu, \gamma_{xy}/2 = 100\mu \quad (2.9)$$

よって  $x$ - $y$  座標系におけるひずみテンソル  $[\varepsilon_{ij}]$  は以下のようになる.

$$[\varepsilon_{ij}] = \begin{pmatrix} \varepsilon_x & \gamma_{xy}/2 \\ \gamma_{xy}/2 & \varepsilon_y \end{pmatrix} = \begin{pmatrix} 156\mu & 100\mu \\ 100\mu & 356\mu \end{pmatrix} \quad (2.10)$$

(4) 主ひずみ  $(\varepsilon_1, \varepsilon_2)$  および  $x$ - $y$  座標系からみた主ひずみ方向  $(\theta_1, \theta_2)$  を求めよ.

ただし,  $\varepsilon_1 > \varepsilon_2$ ,  $-90^\circ \leq \theta_1, \theta_2 \leq 90^\circ$  とする.

モールのひずみ円より主ひずみ  $\varepsilon_1, \varepsilon_2$  は以下のように得られる.

$$\begin{pmatrix} \varepsilon_1 \\ \varepsilon_2 \end{pmatrix} = \begin{pmatrix} \varepsilon_c + r \\ \varepsilon_c - r \end{pmatrix} = \begin{pmatrix} 256\mu + 141\mu \\ 256\mu - 141\mu \end{pmatrix} = \begin{pmatrix} 397\mu \\ 115\mu \end{pmatrix} \quad (2.11)$$

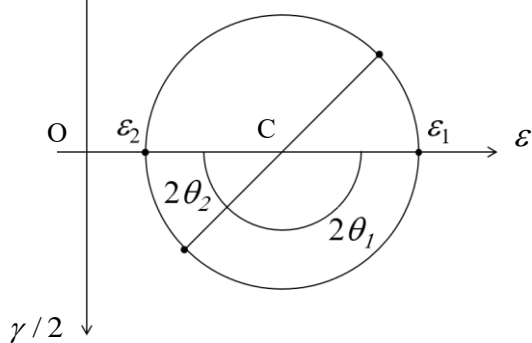


Fig.5 モールのひずみ円.

図 5 のように  $2\theta_1, 2\theta_2$  を置くと主ひずみ方向は以下のようになる.

$$\begin{aligned} \theta_2 &= \frac{1}{2} \tan^{-1} \left| \frac{\gamma_{xy}/2}{\varepsilon_x - \varepsilon_c} \right| \\ &= 22.5^\circ \end{aligned} \quad (2.12)$$

さらに,

$$\theta_1 = 90^\circ - \theta_2 = 67.5^\circ \quad (2.13)$$

よって主ひずみ方向を符号に注意して整理すると

※解答の導出過程がないレポートは認めない.  
採点済みのレポートは 58 号館のレポート返却 BOX にて返却.

$$\begin{pmatrix} \theta_1 \\ \theta_2 \end{pmatrix} = \begin{pmatrix} 67.5^\circ \\ -22.5^\circ \end{pmatrix} \quad (2.14)$$

(5) 応力-ひずみの関係より、主応力( $\sigma_1, \sigma_2$ )を求めよ。

問題の点は板厚が十分薄いことから、平面応力状態とみなすことができることができる。よって

$$\sigma_z = 0 \quad (2.15)$$

応力-ひずみの関係から

$$\varepsilon_1 = \frac{1}{E} (\sigma_1 - \nu \sigma_2) \quad (2.16)$$

$$\varepsilon_2 = \frac{1}{E} (\sigma_2 - \nu \sigma_1) \quad (2.17)$$

これを応力 $\sigma_1, \sigma_2$ について整理すると、主応力 $\sigma_1, \sigma_2$ は

$$\begin{aligned} \sigma_1 &= \frac{E}{1-\nu^2} (\varepsilon_1 + \nu \varepsilon_2) \\ &= \frac{182 \times 10^9}{1-0.3^2} (397\mu + 0.3 \times 115\mu) \\ &= 86.3 \text{ [MPa]} \end{aligned} \quad (2.18)$$

$$\begin{aligned} \sigma_2 &= \frac{E}{1-\nu^2} (\varepsilon_2 + \nu \varepsilon_1) \\ &= \frac{182 \times 10^9}{1-0.3^2} (115\mu + 0.3 \times 397\mu) \\ &= 46.8 \text{ [MPa]} \end{aligned} \quad (2.19)$$

よって

$$\begin{pmatrix} \sigma_1 \\ \sigma_2 \end{pmatrix} = \begin{pmatrix} 86.3 \\ 46.8 \end{pmatrix} \text{ [MPa]} \quad (2.20)$$

※解答の導出過程がないレポートは認めない.  
採点済みのレポートは 58 号館のレポート返却 BOX にて返却.

(6) この点における最大せん断応力  $\tau_{\max}$  を求めよ。

平面応力状態であるから主応力は

$$\begin{pmatrix} \sigma_1 \\ \sigma_2 \\ \sigma_3 \end{pmatrix} = \begin{pmatrix} 86.3 \\ 46.8 \\ 0 \end{pmatrix} [\text{MPa}] \quad (2.21)$$

となり、 $\sigma_1 > \sigma_2 > \sigma_3$  なので最大せん断応力  $\tau_{\max}$  は

$$\begin{aligned} \tau_{\max} &= \frac{\sigma_1 - \sigma_3}{2} \\ &= \frac{86.3 - 0}{2} \\ &= 43.15 \\ &\approx 43.2 \quad [\text{MPa}] \end{aligned} \quad (2.22)$$